

การพัฒนาเครื่องมือเพื่อวัดปริมาณน้ำมันในเม็ดข้าวโพด  
โดยวิธีนิวเคลียร์แบบเดติกเรโซแนซ

นาย มงคล แจ่มแจ้ง



วิทยานิพนธ์นี้เป็นส่วนหนึ่งของการศึกษาตามหลักสูตรปริญญาวิทยาศาสตร์มหาบัณฑิต

สาขาวิชาพิสิกส์ ภาควิชาพิสิกส์  
บัณฑิตวิทยาลัย จุฬาลงกรณ์มหาวิทยาลัย

ปีการศึกษา 2540

ISBN 974-639-167-4

จัดทำขึ้นโดยบัณฑิตวิทยาลัย จุฬาลงกรณ์มหาวิทยาลัย

**DEVELOPMENT OF AN INSTRUMENT FOR MEASURING  
OIL CONTENT IN CORN SEEDS  
BY MEANS OF NUCLEAR MAGNETIC RESONANCE**

**Mr. Mongkol Jaemjaeng**

**A Thesis Submitted in Partial Fulfillment of the Requirements**

**for the Degree of Master of Science in Physics**

**Department of Physics**

**Graduate School**

**Chulalongkorn University**

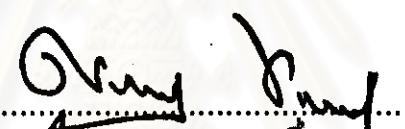
**Academic Year 1997**

**ISBN 974-639-167-4**

|                      |  |
|----------------------|--|
| หัวข้อวิทยานิพนธ์    | การพัฒนาเครื่องมือเพื่อวัดปริมาณน้ำมันในเมล็ดข้าวโพด โดยวิธีนิวเคลียร์ |
| โดย                  | นาย มงคล แย่แหง  |
| ภาควิชา              | ฟิสิกส์  |
| อาจารย์ที่ปรึกษา     | รองศาสตราจารย์ ดร. อనันดสิน เศษกำথุช                                   |
| อาจารย์ที่ปรึกษาร่วม | รองศาสตราจารย์ ดร. วิจิตร เสียงแหณสุ                                   |

---

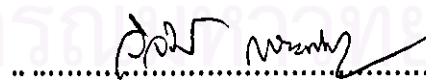
บัญชีดิจิทัล จุฬาลงกรณ์มหาวิทยาลัย อนุมัติให้นับวิทยานิพนธ์ฉบับนี้เป็นส่วนหนึ่ง  
ของการศึกษาตามหลักสูตรปริญญามหาบัณฑิต

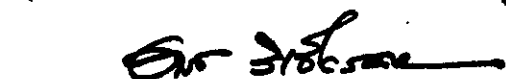
 คณบดีบัญชีดิจิทัล  
(ศาสตราจารย์ นายแพทย์ ศุภวัฒน์ ชูดิวงศ์)

คณะกรรมการสอบวิทยานิพนธ์

 ประธานกรรมการ  
(ผู้ช่วยศาสตราจารย์ สมพงษ์ พัตราภรณ์)

 อาจารย์ที่ปรึกษา  
(รองศาสตราจารย์ ดร. อันันดสิน เศษกำথุช )

 อาจารย์ที่ปรึกษาร่วม  
(รองศาสตราจารย์ ดร. วิจิตร เสียงแหณสุ)

 กรรมการ  
(รองศาสตราจารย์ ดร. ชาเรล์ วิเชียรชาบ)

 กรรมการ  
(ผู้ช่วยศาสตราจารย์ กิรพันต์ รัตนธรรมพันธ์)

มงคล แจ่มแจ้ง : การพัฒนาเครื่องมือเพื่อวัดปริมาณน้ำมันในเมล็ดข้าวโพดโดยวิธีนิวเคลียร์เมง  
เนติกเรโซโนนنس (DEVELOPMENT OF AN INSTRUMENT FOR MEASURING OIL  
CONTENT IN CORN SEEDS BY MEANS OF NUCLEAR MAGNETIC RESONANCE)  
อ.ที่ปรึกษา: รศ. ดร. อนันดาสิน เดชะกานุช, อ.ที่ปรึกษาร่วม: รศ. ดร. วิจิตร เถึงแหหันนซ์,  
74 หน้า ISBN 974-639-167-4

การวิจัยนี้มีวัตถุประสงค์เพื่อพัฒนาเครื่องมือทางอิเล็กทรอนิกส์สำหรับวัดสัญญาณการสูดกืน  
พัลงงานจากน้ำมันข้าวโพดในห้องทดลอง แล้วแปลงสัญญาณให้เป็นปริมาณที่รับได้ เชิงตัวเลขแบบแสดง  
ผลทันที โดยในการวิจัยได้ทำการปรับปูจงอิเมจาร์คิเตอร์ให้มีสัญญาณรบกวนลดลง และทำการสร้าง  
เครื่องมือขึ้นใหม่ประกอบด้วย แหล่งจ่ายไฟเดี่ยวแม่เหล็กไฟฟ้าที่สามารถจ่ายกระแสไฟสูงสุด 5 แอม培ร์  
โดยกระแสมีความเร็ว 0.001 แอม培ร์ และคงที่อยู่นาน พัฒนาเครื่องสร้างสนามขอุตสาหกรรมแม่เหล็กที่  
กว้างขึ้นถูกออกแบบเป็นแบบเชิงเส้น สร้างวงจรนับความถี่สูงย่านวิทยุ 1-20 เมกกะ赫ซ์ โดยมีความละเอียดในการ  
แสดงผล 100 เมอร์ค์ แต่สร้างวงจรแปลงสัญญาณอิเมจาร์ให้เป็นปริมาณน้ำมันและแสดงผลทันทีออก  
ทางໄวส์มิเตอร์ โดยเทียบให้ความต่างศักย์ 1 มิลลิໄวส์ต์ ให้เท่ากับปริมาณน้ำมัน 1 มิลลิกรัม ซึ่งในการ  
ทดลองสามารถแสดงผลได้ในช่วง 3-150 มิลลิกรัม โดยมีความละเอียดในการแสดงผล 1 มิลลิกรัม เครื่อง  
มือนี้สามารถนำไปวัดปริมาณน้ำมันในเมล็ดข้าวโพดเพื่อการพัฒนาและคัดพันธุ์คุณภาพ

## สถาบันวิทยบริการ จุฬาลงกรณ์มหาวิทยาลัย

ภาควิชา ..... พิสิเกส  
สาขาวิชา ..... พิสิเกส  
ปีการศึกษา ..... 2540

อาจารย์อ่อนนิติ .....   
อาจารย์อาจารย์ที่ปรึกษา .....   
อาจารย์อาจารย์ที่ปรึกษาร่วม .....

## C725752 : MAJOR PHYSICS

KEY WORD: NMR / CORN OIL / INSTRUMENTATION

MONGKOL JAEMJAENG : DEVELOPMENT OF AN INSTRUMENT FOR MEASURING OIL CONTENT IN CORN SEEDS BY MEANS OF NUCLEAR MAGNETIC RESONANCE.

THESIS ADVISOR : ASSO. PROF. ANUNTASIN TECHAGUMPUCH, Ph.D.

THESIS CO-ADVISOR : ASSO. PROF. WIJIT SENGHAPHAN, Ph.D. 74 pp.

ISBN 974-639-167-4

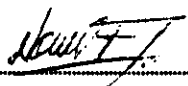
In this research NMR instrument for measuring the NMR absorption signal from corn oil was developed. This analog signal was converted, by using electronic circuit , to digital signal so that the content of oil can be directly displayed. In this work , the NMR detector was improved in order to reduced noise, power supplied for electromagnet which provided very stable current for  $I_{max} = 5$  Amperes and  $\Delta I = \pm 0.001$  Ampere was constructed, the digital frequency counter for 1 MHz to 20 MHz signal which the accuracy of 100 Hz was designed and developed. Magnetic field modulation in this NMR measurement was provided by sending triangular-sharp current through electronic coil, circuit for this current source was also made. The converter which changes NMR signal into digital signal was carefully designed so that the mass of corn oil can be directly read from the display unit. This NMR equipment can be used to measured in range of 3-150 mg with a resolution of 1 mg. This equipment can be use to estimate the amount of oil in corn seeds for the propose of seeds selection.

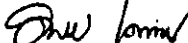
# สถาบันวิทยบริการ จุฬาลงกรณ์มหาวิทยาลัย

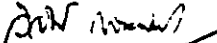
ภาควิชา..... ฟิสิกส์.....

สาขาวิชา..... ฟิสิกส์.....

ปีการศึกษา..... 2540.....

ลายมือชื่อนิสิต..... 

ลายมือชื่ออาจารย์ที่ปรึกษา..... 

ลายมือชื่ออาจารย์ที่ปรึกษาร่วม..... 



## กิตติกรรมประกาศ

วิทยานิพนธ์ฉบับนี้สำเร็จได้ด้วยคุณภาพจากคำแนะนำ และข้อคิดเห็นต่างๆจาก รองศาสตราจารย์ ดร. วิจิตร เกื้องหนันธ์ และรองศาสตราจารย์ ดร. อนันดาศิน เศรษฐกิจ ซึ่งเป็น  
คณะที่ปรึกษาวิทยานิพนธ์ รวมทั้งผู้ที่ให้ข้อคิดเห็นและเสนอแนะต่างๆ ที่ไม่ได้เอียนนาม ณ ที่  
นี้ และที่สำคัญที่สุดของขอบพระคุณบุคลากรคณาจารย์ ที่สนับสนุนและให้กำลังใจแก่ผู้วิจัยให้มีโอกาสศึกษามาโดยตลอด

สถาบันวิทยบริการ  
จุฬาลงกรณ์มหาวิทยาลัย

## สารบัญ

หน้า

|   |    |
|---|----|
| บทคัดย่อภาษาไทย .....   | ๔  |
| บทคัดย่อภาษาอังกฤษ .....  | ๕  |
| กิตติกรรมประกาศ .....   | ๙  |
| สารบัญ .....  | ๙  |
| สารบัญภาพ .....   | ๑๙ |
| บทที่   |    |
| 1 บทนำ.....   | ๑  |
| 1.1 ความเป็นไปได้ในการใช้วิธีนิวเคลียร์แมกเนติกเรโซแนนซ์มาทำการวัดปริมาณน้ำมันในเมล็ดข้าวโพด..... | ๒  |
| 1.2 วัตถุประสงค์.....   | ๓  |
| 1.3 ประโยชน์ที่คาดว่าจะได้รับ.....  | ๓  |
| 1.4 ขอบเขตของการวิจัย.....  | ๔  |
| 2 ทฤษฎีพื้นฐานของนิวเคลียร์แมกเนติกเรโซแนนซ์และหลักการพัฒนาเครื่องมือ.....                        | ๕  |
| 2.1 ทฤษฎีพื้นฐาน.....   | ๕  |
| 2.2 สถิติของไบโอล์ฟ์มานน์ (Boltzmann Statistics).....   | ๙  |
| 2.3 Relaxation.....   | ๑๑ |
| 2.4 หลักการสร้างเครื่องมือ.....   | ๑๒ |
| 3 การออกแบบ.....  | ๒๑ |
| 3.1 วงจรໄรมินสันดีแทกเตอร์.....   | ๒๑ |

## บทที่

## 3 (ต่อ)

|  |           |
|--|-----------|
| 3.2 วงจรนับความถี่สูงย่านวิทยุ 1 - 20 MHz.....               | 24        |
| 3.3 แหล่งจ่ายไฟเดี่ยวแม่เหล็กไฟฟ้า .....                     | 26        |
| 3.4 แม่เหล็กไฟฟ้า.....                                       | 33        |
| 3.5 วงจร monocycle แบบแม่เหล็ก.....                          | 33        |
| 3.6 วงจรขยายสัญญาณเสียงเบื้องต้น.....                        | 44        |
| 3.7 วงจรแปลงสัญญาณเสียงเบื้องต้นเป็นปริมาณน้ำมันข้าวโพด..... | 46        |
| 3.8 วงจรไวโอล์ฟมิเตอร์.....                                  | 51        |
| <b>4 การใช้เครื่องมือ.....</b>                               | <b>52</b> |
| 4.1 ขั้นตอนการต่อชุดทดลอง.....                               | 52        |
| 4.2 วิธีการทดลอง.....  | 54        |
| 4.3 การปิดเครื่องมือ.....                                    | 55        |
| 4.4 ตรวจสอบการทำงานของเครื่องมือ .....                       | 55        |
| 4.5 ทดสอบวัดสัญญาณจากเม็ดข้าวโพด.....                        | 57        |
| <b>5 สรุปผลและข้อเสนอแนะ.....</b>                            | <b>58</b> |
| 5.1 ข้อสรุปที่ได้จากการวิจัย.....                            | 58        |
| 5.2 ปัญหาและแนวทางในการแก้ไข.....                            | 59        |
| 5.3 ข้อเสนอแนะ.....  | 60        |

## หน้า

|  |           |
|--|-----------|
| รายการอ้างอิง .....                              | 61        |
| <b>ภาคผนวก</b>                                   |           |
| ก. ข้อมูลไอซีหมายเลข 7107.....                   | 63        |
| ข. ข้อมูลไอซีหมายเลข 7216.....                   | 66        |
| ก. รายการอุปกรณ์โรงบินสันคีเกทเคนร์.....         | 72        |
| ง. สมบัติของน้ามันเข้าไว้ด้วยที่ใช้ทุกอย่าง..... | 73        |
| <b>ประวัติผู้เขียน.....</b>                      | <b>74</b> |

# สถาบันวิทยบริการ จุฬาลงกรณ์มหาวิทยาลัย

## สารบัญภาพ

หน้า

### รูปที่

|  |    |
|--|----|
| 1.1 ภาพแสดงความสัมพันธ์ระหว่างปอร์เซนต์ของน้ำมันข้าวโพดที่ได้จากการ<br>ถักกับปอร์เซนต์ของน้ำมันข้าวโพดที่ได้จากการทดสอบ.....                             | 2  |
| 2.1 แสดงการแยกของระดับพัฒนาของไปรดอนในสถานะแม่เหล็กสถิติ ขนาด $B_0$ .....  | 7  |
| 2.2 (ก) แสดงการวางแผนคัวของไมเมนต์แม่เหล็ก $\bar{M}$ ในสถานะแม่เหล็กสถิติ $\bar{B}_0$ .....  | 8  |
| (ข) แสดงสถานะแม่เหล็กถลับ $\bar{B}_1$ ในแนวตั้งจากกับ $\bar{B}_0$ ซึ่งทำให้ไปรดอน<br>เปลี่ยนทิศของสนับนและเปลี่ยนระดับพัฒนา.....                         | 8  |
| 2.3 แสดงการวางแผนคุณภาพของแสงที่ให้กำเนิดสถานะแม่เหล็กถลับ $B_1$ ในแม่เหล็ก<br>ที่ให้กำเนิดสถานะแม่เหล็กสถิติขนาด $B_0$ .....                            | 12 |
| 2.4 (ก) แสดงความต่างศักย์ต่ำสุดถึงสูงสุดคร่อมของคุณภาพของแสงก่อนการเกิดเรื่องแบบ.....  | 13 |
| (ข) แสดงความต่างศักย์ต่ำสุดถึงสูงสุดคร่อมของคุณภาพของแสงขณะเกิดเรื่องแบบ.....  | 13 |
| 2.5 แสดงการกำหนดของสถานะแม่เหล็กขนาดเล็ก $B_m$ ซึ่งใช้ในการถูกกับ <sup>2</sup><br>สถานะแม่เหล็กสถิติ $B$ เพื่อให้สถานะแม่เหล็กกำหนดผ่านชุดเรื่องแบบ..... | 13 |
| ผ่านชุด ที่สถานะแม่เหล็กมีค่า $B_0$ ในรูป t เป็นเวลา.....  | 13 |
| 2.6 แสดงการกำหนดของสถานะแม่เหล็ก $B_m$ ที่มีอยู่กับสถานะแม่เหล็ก $B$ ทำ<br>ให้สถานะแม่เหล็กกำหนดผ่านชุด $B_0$ ซึ่งเป็นชุดเรื่องแบบ ในรูป r เป็นเวลา..... | 14 |
| 2.7 (ก) แสดงทิศของสถานะแม่เหล็ก $\bar{B}_m$ .....  | 14 |
| (ข) แสดงการวางแผนคุณภาพของแสงที่มีอยู่กับสถานะแม่เหล็ก $B$ .....   | 14 |
| 2.8 แสดงรูปถ่ายสัญญาณความต่างศักย์จากสูงสุดถึงต่ำสุดเมื่อสถานะแม่<br>เหล็ก $\bar{B}_m$ กำหนดผ่านชุดเรื่องแบบ.....  | 15 |

## รูปที่

|   |    |
|---|----|
| 2.9 แสดงสัญญาณ NMR ของอุเกทแบบ AM กับความถี่สูง (จำลอง).....                                      | 15 |
| 2.10 แสดงสัญญาณการคูดกลืนพลังงานเมื่อกีติเร ไซแนนซ์หรือสัญญาณ NMR(จำลอง). .                       | 16 |
| 2.11 แสดงการเกิดพิกสัญญาณ NMR ในกรวยความ 1 รอบของสนามแม่เหล็ก $\vec{B}_m$ .....                   | 16 |
| 2.12 แสดงความสัมพันธ์ระหว่างค่าความถูกของสัญญาณ NMR หรือ $h$<br>กับมวลของน้ำมันข้าวโพด (m) .....  | 17 |
| 2.13 แสดงวงจรวัดความถูกของพิกสัญญาณ NMR (peak voltage detector)<br>และแสดงผลอยู่ในรูปไฟฟาร์ง..... | 18 |
| 2.14 แสดงการเปลี่ยนค่าความถูกสัญญาณ NMR เป็นปริมาณน้ำมัน<br>โดยใช้วงจรหารค่ายกกำลัง $k$ .....     | 19 |
| 2.15 พัฒนาวงจรปริมาณน้ำมันในเม็ดข้าวโพด.....  | 20 |
| 3.1 แสดงส่วนต่างๆ ของวงจร ໄรมบินสันคีเทกเตอร์อย่างคร่าวๆ.....                                     | 22 |
| 3.2 แสดงวงจร ໄรมบินสันคีเทกเตอร์ที่ได้รับการออกแบบอย่างสมบูรณ์ .....                              | 22 |
| 3.3 การพัฒนาวงจรของเครื่องวัดความถี่.....   | 23 |
| 3.4 โครงสร้างของเครื่องวัดความถี่.....  | 23 |
| 3.5 แสดงการต่อวงจรประยุกต์ของไอซีเบอร์ ICL7216D เพื่อเป็นวงจรนับความถี่.....                      | 24 |
| 3.6 แสดงวงจรหารสิบ.....   | 25 |
| 3.7 วงจรขยายแบบแก็คเก็ค โดยใช้ทรานซิสเตอร์.....   | 25 |
| 3.8 แสดงวงจรสร้างพัตต์สูปสี่เหลี่ยมจากคลื่นรูป sine โดยใช้ไอซีเบอร์ 74LS13.....                   | 26 |
| 3.9 วงจรนับความถี่ 1 - 20 MHz.....  | 27 |
| 3.10 วงจรชั่งกระแทกที่.....   | 28 |
| 3.11 วงจรชั่งไฟเลี้ยงแม่เหล็กไฟสำหรับบ่อกวนบูรณา.....   | 30 |

## หน้า

## รูปที่

|  |    |
|--|----|
| 3.11b แสดงความสัมพันธ์ระหว่างความถี่กับกระแสที่ผ่านแม่เหล็กซึ่งทำให้เกิดสัญญาณอิเล็กทรอนิกส์.....      | 32 |
| 3.12 วงจรจ่ายกระแสสูบสามเหลี่ยมให้กับบคลาดคอมพิวเตอร์.....   | 34 |
| 3.13 แสดงกลไกสูบสามเหลี่ยมที่เกิดจากวงจรกำเนิดคลื่นสูบสามเหลี่ยม.....                                  | 35 |
| 3.14 แสดงการทำงานของอปีโอนปีที่มีการป้อนกลับแบบบวก.....  | 36 |
| 3.15 แสดงการรวมวงจรอินทิเกรเตอร์กับวงจรคอมพาระเอียด<br>เพื่อสร้างสัญญาณสูบสามเหลี่ยมและสามเหลี่ยม..... | 37 |
| 3.16 แสดงกฎคลื่นการทำงานของวงจรกำเนิดคลื่นในรูปที่ 3.13.....   | 38 |
| 3.17 วงจรกลบแรงดัน.....  | 39 |
| 3.18 (ก) แสดงกลไกสูบสามเหลี่ยมจากวงจรกำเนิดคลื่นสูบสามเหลี่ยม.....                                     | 40 |
| (ข) แสดงกลไกสูบสามเหลี่ยมนี้ผ่านวงจรกลบแรงดัน.....   | 40 |
| 3.19 วงจรคอมพิวเตอร์สามเหลี่ยมอิเล็กทรอนิกส์.....  | 42 |
| 3.20a แสดงการพันบคลาดคอมพิวเตอร์.....  | 43 |
| 3.20b แสดงการปรับเกื่อนพิกัดสัญญาณอิเล็กทรอนิกส์ให้ไปทางชี้ขาดและขวาสุด.....                           | 44 |
| 3.21 วงจรขยายแบบกลับเพลสโตร์ให้อปีโอนปี.....   | 45 |
| 3.22 แสดงสัญญาณอิเล็กทรอนิกส์ที่ออกจากໄรมบินสันดีแทคเตอร์.....   | 45 |
| 3.23 วงจรขยายสัญญาณอิเล็กทรอนิกส์ 1000 เท่าโดยใช้อปีโอนปี.....   | 46 |
| 3.24 แสดงวงจรตรวจจับความสูงของพิกัดสัญญาณ (peak voltage detector) .....                                | 46 |
| 3.25 วงจรตรวจจับความสูงของพิกัดสัญญาณอิเล็กทรอนิกส์อย่างสมบูรณ์.....                                   | 47 |

## หน้า

|      |   |    |
|------|---|----|
| 3.26 | วงจรหารด้วย $k$ .....                                       | 48 |
| 3.27 | กราฟเพื่อหาค่า $k$ จากการทดลอง.....                         | 49 |
| 3.28 | วงจรแปลงสัญญาณ NMR เป็นปริมาณน้ำมันข้าวโพดอย่างสมบูรณ์..... | 50 |
| 3.29 | วงจรไวโอลต์มิเตอร์.....                                     | 51 |
| 4.1  | ชุดทดลองที่ต้องเตรียมแล้ว.....                              | 53 |
| 4.2  | กราฟแสดงการตรวจสอบการทำงานของเครื่องมือ.....                | 55 |
| 4.3  | แสดงช่วงของปริมาณน้ำมันที่เครื่องมือสามารถตรวจได.....       | 56 |


  
**สถาบันวิทยบริการ  
จุฬาลงกรณ์มหาวิทยาลัย**